



CENTRO FEDERAL DE EDUCAÇÃO TECNOLÓGICA DE MINAS GERAIS  
Campus Leopoldina

ENGENHARIA DE CONTROLE E AUTOMAÇÃO

**RELATÓRIO DE ATIVIDADE PRÁTICA 04**  
**Introdução a Função Descritiva abordando o uso da Série de Fourier**

Lucas Daniel de Melo Borges  
Lucas Guimarães da Rocha

Prof. Murillo Ferreira dos Santos, D. Eng.

Leopoldina, MG  
17 de março de 2021

## Resumo

Um dispositivo não-linear do tipo **relé ideal** foi estudado no domínio da frequência através da Transformada Discreta de Fourier utilizando o *software* MATLAB, calculando os componentes harmônicos da Série de Fourier que descreve este elemento e comparando o sinal gerado pela soma destas componentes com o sinal gerado pela saída do dispositivo.

A seguir, foi calculada a função descritiva deste dispositivo com base na Série de Fourier obtida considerando apenas a harmônica fundamental para fins de validação deste método.

# 1 Introdução teórica

## 1.1 A série de Fourier

Seja  $f(t)$  uma função absolutamente integrável e periódica em um intervalo de tempo (período)  $T$ , ou seja,  $f(t) = f(t + T)$ . Esta função pode ser descrita pela soma de uma constante com infinitos termos senoidais e cossenoidais com amplitudes e frequências diferentes, como apresentado em (1), (2), (3) e (4). Esta soma é chamada de Série de Fourier.

$$f(t) = \frac{a_0}{2} + \sum_{n=1}^{\infty} (a_n \cos(\frac{2\pi nt}{T}) + b_n \sin(\frac{2\pi nt}{T})) \quad (1)$$

$$a_0 = \frac{2}{T} \int_0^T f(t) dt \quad (2)$$

$$a_n = \frac{2}{T} \int_0^T f(t) \cos(\frac{2\pi nt}{T}) dt \quad (3)$$

$$b_n = \frac{2}{T} \int_0^T f(t) \sin(\frac{2\pi nt}{T}) dt \quad (4)$$

Através das propriedades trigonométricas é possível reescrever a Série de Fourier unindo os termos de seno e cosseno presentes no somatório em um único termo senoidal. Isto é possível unindo  $a_n$  e  $b_n$  em  $f_n$  utilizando a equação 5. Os termos do somatório passam a ser defasados por  $\varphi_n$ , que é calculado através da equação 6. O termo constante da série pode ser representado por  $f_0$  através da equação 7.

$$f_n = \sqrt{a^2 + b^2} \quad (5)$$

$$\varphi_n = \arctan \frac{a_n}{b_n} \quad (6)$$

$$f_0 = \frac{a_0}{2} \quad (7)$$

Sendo assim, a Série de Fourier pode ser reescrita pela equação 8.

$$f(t) = f_0 + \sum_{n=1}^{\infty} f_n \sin(\frac{2\pi nt}{T} + \varphi_n) \quad (8)$$

## 1.2 A Transformada de Fourier

Aproximando-se a periodicidade de uma função para o intervalo  $]-\infty, \infty[$ , é possível generalizar a Série de Fourier para funções não periódicas. Obtemos, dessa forma, a Transformada de Fourier, uma transformação linear que transfere funções do domínio do tempo para o domínio da frequência.

A Transformada de Fourier  $F(\omega)$  de uma função  $f(t)$  pode ser obtida através da equação 9.

$$F(\omega) = \int_{-\infty}^{\infty} f(t)e^{-j\omega t} dt \quad (9)$$

Para exemplificar a ação da Transformada de Fourier, observemos a figura 1.

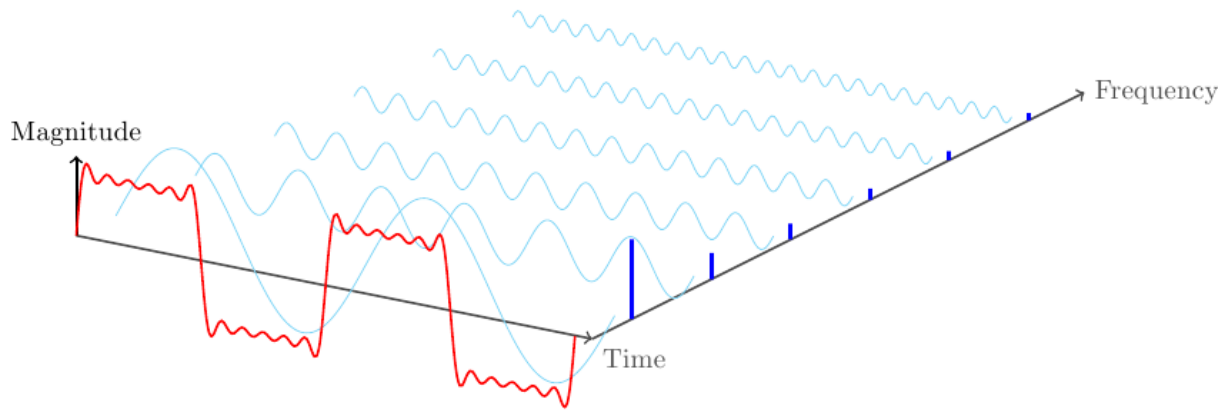


Figura 1: Transformada de Fourier observada graficamente

Fonte: Disponível em <<https://tex.stackexchange.com/questions/127375/replicate-the-fourier-transform-time-frequency-domains-correspondence-illustrati>>.

A função em vermelho está no domínio do tempo e, como supracitado, por ser uma função periódica, pode ser descrita pela Série de Fourier. As funções em azul-claro são todas as funções senoidais que compõem a Série de Fourier da função em vermelho (para este exemplo a componente constante  $f_0$  é igual a 0). A série em azul, por sua vez, representa as amplitudes de todas as funções em azul-claro que compõem a função em vermelho. Na prática, a Transformada de Fourier transforma a função em vermelho na série em azul.

### 1.2.1 A Transformada Discreta de Fourier

Em equipamentos digitais, não é possível trabalhar com a variável tempo no formato contínuo, sendo necessário discretizá-la para realizar quaisquer cálculos. A Transformada Discreta de Fourier, apresentada na equação 10, é uma versão da Transformada de Fourier adaptada para trabalhar com variáveis discretas com  $N$  amostras.

$$F(\omega) = \frac{1}{N} \sum_{t=0}^{N-1} f(t)e^{-\frac{j2\pi\omega t}{N}} \quad (10)$$

Uma forma eficiente de se calcular a Transformada Discreta de Fourier de uma função é através do algoritmo chamado de "Transformada Rápida de Fourier", comumente

conhecido como FFT (*Fast Fourier Transform*). Enquanto os algoritmos simples para a Transformada Discreta de Fourier possuem complexidade  $O(N^2)$ , o algoritmo FFT, que é baseado no método de dobramentos sucessivos, possui complexidade  $O(N \log N)$ , o que garante uma redução considerável no tempo de processamento. Para o desenvolvimento dos experimentos relatados neste documento foi utilizada a função `fft()` nativa do *software* MATLAB, equivalente à Transformada Rápida de Fourier.

### 1.3 Elementos não-lineares

Matematicamente, elementos não-lineares são elementos que, para um sinal de entrada  $u(t)$ , o sinal de saída  $y(t)$  gerado pelo elemento não obedece ao princípio da superposição. Desta forma, não existem métodos analíticos capazes de apresentar soluções exatas para as equações de sistema que possuam estes elementos.

O princípio da superposição diz que para uma entrada  $u(t)$  formada pela combinação linear de  $n$  entradas  $u_n(t)$ , a saída  $y(t)$  gerada pode ser representada por uma combinação linear das saídas  $y_n(t)$  geradas individualmente por cada entrada  $u_n(t)$ , como apresentado nas equações 11, 12, 13 e 14.

$$u(t) = \alpha_1 u_1(t) + \dots + \alpha_n u_n(t) \quad (11)$$

$$y(t) = \alpha_1 y_1(t) + \dots + \alpha_n y_n(t) \quad (12)$$

$$u(t) \rightarrow y(t) \quad (13)$$

$$u_n(t) \rightarrow y_n(t) \quad (14)$$

Na prática, as respostas geradas por sistemas que contenham elementos não-lineares não seguem um padrão analítico e calculado. Estes sistemas são capazes de gerar respostas com formatos completamente diferentes para entradas do mesmo tipo, mas com amplitudes diferentes.

#### 1.3.1 Funções descritivas

Na maioria dos casos, para uma entrada  $x(t) = X \sin \omega_0 t$ , a resposta gerada por um elemento não-linear será não-senoidal, porém periódica com frequência igual à entrada. Sendo assim, como supracitado, é possível representar esta saída gerada através de uma Série de Fourier.

Hodiernamente, a maioria dos controladores utilizados possuem as características de um filtro passa-baixa. Um filtro passa-baixa é capaz de atenuar ruídos de sinais, o que, na prática, significa atenuar as componentes harmônicas mais altas em um sinal. Dessa forma, um controlador generalizado atenua as componentes harmônicas da saída gerada por uma não-linearidade, o que torna possível descrever esta através, apenas, de sua componente fundamental.

Portanto, dada uma entrada  $x(t) = X \sin \omega_0 t$  aplicada a um elemento não-linear, nos termos da equação 8, a função descritiva complexa  $N(X)$  deste é dada por:

$$N(X) = \frac{f_0 + f_1}{X} \angle \varphi_1 \quad (15)$$

## 2 Objetivo

Analisar um sinal periódico discreto no domínio da frequência com o uso da Transformada Discreta de Fourier (DFT - *Discrete Fourier Transform*). Posteriormente, reconstruir o sinal a fim de validar a representação em Funções Descritivas, que considera apenas a componente harmônica fundamental do sinal.

## 3 Desenvolvimento

O experimento propõe a utilização do elemento não linear "relé ideal" com frequência de  $2\pi$  rad/s com as características mostradas na Tabela 1.

Tabela 1: Características do Relé Ideal proposto

ELEMENTO	PARÂMETROS	VALOR	ON	OFF
Relé Ideal	<i>Upper limit</i>	2	0	$\pi$
	<i>Lower limit</i>	1		

Na Figura 2 pode-se observar o comportamento não linear do relé ideal cuja as características foram mostradas na Tabela 1.

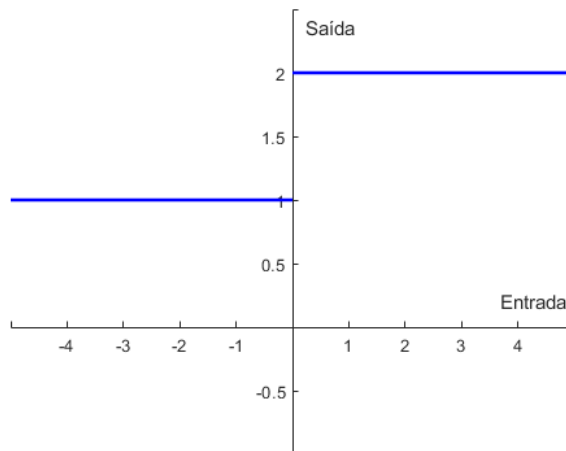


Figura 2: Comportamento não linear do relé ideal denominado Liga-Desliga

Analisando a Figura 2 pode-se observar que o Relé Ideal mantém a saída constante em 1 para valores de entrada menores que 0 e mantém a saída constante em 2 para valores de entrada maiores que 0.

A seguir são apresentadas seis questões importantes acerca do experimento relatado:

1. Representar o elemento não linear relé ideal através da série de Fourier de forma genérica para  $n$  harmônicos. Apresente a formação teórica juntamente com a representação obtida através da função `fft` do MATLAB.
2. Reconstitua o sinal aproximado considerando  $n$  até 1. Comente quão aproximada está a reconstituição.

3. Reconstitua o sinal aproximado considerando  $n$  até 3. Comente quão aproximada está a reconstituição.
4. Reconstitua o sinal aproximado considerando  $n$  até 7. Comente quão aproximada está a reconstituição.
5. A aproximação da Série de Fourier para o primeiro harmônico é válida? Argumente sua resposta.
6. Obtenha a função descritiva de forma genérica para um sinal de entrada da forma  $X.\text{sen}(wt)$  para o elemento não linear relé ideal apresentado no início da atividade.

### Estudo 1

Aplicando a Série de Fourier para o sinal de saída para  $n$  harmônicos:

Cálculo de  $a_0$ :

$$a_0 = \frac{1}{\pi} [\int_0^\pi 2d\omega t + \int_\pi^{2\pi} 1d\omega t]$$

$$a_0 = \frac{1}{\pi} [(2\pi - 0) + (2\pi - \pi)]$$

$$a_0 = 3$$

Cálculo de  $f_0$ :

$$f_0 = \frac{a_0}{2}$$

$$f_0 = \frac{3}{2} = 1,5$$

Cálculo de  $a_n$ :

$$a_n = \frac{1}{\pi} [\int_0^{2\pi} y(t) \cos(n\omega t) d\omega t]$$

$$a_n = \frac{1}{\pi} [\int_0^\pi 2 \cos(n\omega t) d\omega t + \int_\pi^{2\pi} \cos(n\omega t) d\omega t]$$

$$a_n = \frac{1}{\pi} [(\frac{2 \text{sen}(n\pi)}{n} - \frac{2 \text{sen}(0)}{n}) + (\frac{\text{sen}(2n\pi)}{n} - \frac{\text{sen}(n\pi)}{n})]$$

$$a_n = 0$$

Cálculo do  $b_n$ :

$$b_n = \frac{1}{\pi} [\int_0^{2\pi} y(t) \sin(n\omega t) d\omega t]$$

$$b_n = \frac{1}{\pi} [\int_0^\pi 2 \sin(n\omega t) d\omega t + \int_\pi^{2\pi} \sin(n\omega t) d\omega t]$$

$$b_n = \frac{1}{\pi} [(\frac{-2 \cos(n\pi)}{n} + \frac{2 \cos(0)}{n}) + (\frac{-\cos(2n\pi)}{n} - \frac{\cos(n\pi)}{n})]$$

$$b_n = \frac{1}{\pi} (\frac{-\cos(n\pi)}{n} + \frac{1}{n})$$

Com os valores de  $a_0$ ,  $a_n$  e  $b_n$ , obtêm-se a equação genérica de Fourier que descreve o sinal:

$$f(t) = 1,5 + \sum_{n=1}^{\infty} [b_n \sin(nt)]$$

Utilizando a função *fft* do MATLAB foi obtido o espectro harmônico do sinal de saída do sistema com relé ideal que é apresentado na Figura 3.

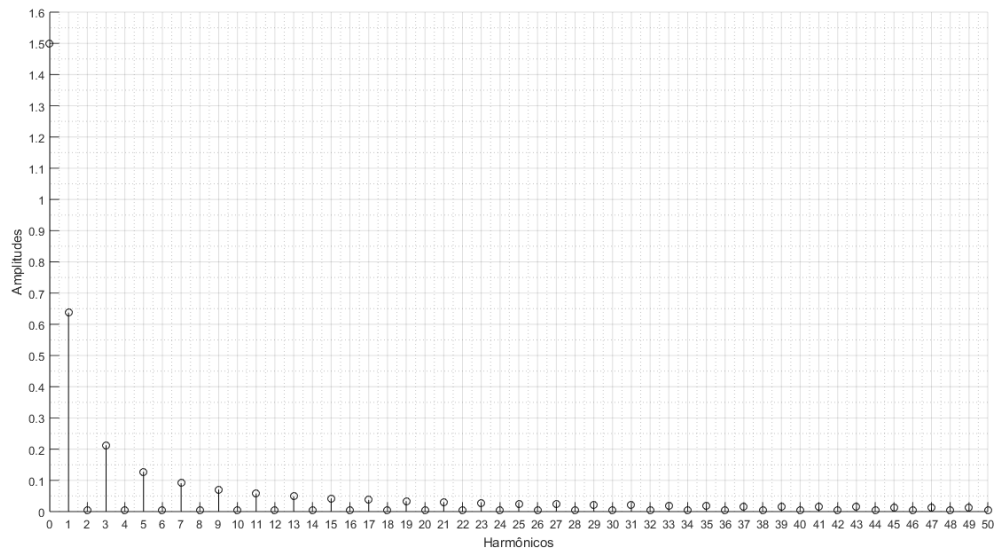


Figura 3: Espectro harmônico de frequência da saída para um sistema com relé ideal

## Estudo 2

Reconstituindo o sinal aproximado pela Série de Fourier considerando  $n$  até 1 foi obtido o resultado apresentado na Figura 4.

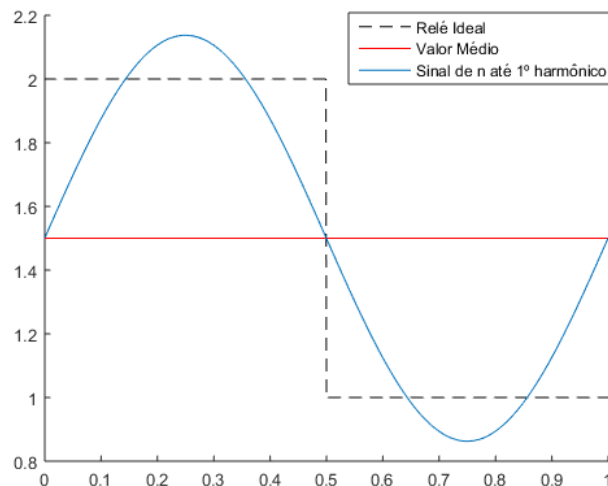


Figura 4: Sinal aproximado pela Série de Fourier considerando  $n$  até 1

Ao analisar a Figura 4 pode-se observar que a aproximação dos sinal utilizando a Série de Fourier considerando até o 1º harmônico é uma aproximação insuficiente para representar o sinal real destacado em azul pois têm-se uma senoide(sinal aproximado) para representar um sinal retangular (sinal real da saída do sistema com Relé Ideal).

## Estudo 3

Reconstituindo o sinal aproximado pela Série de Fourier considerando  $n$  até 3 foi obtido o resultado apresentado na Figura 4.

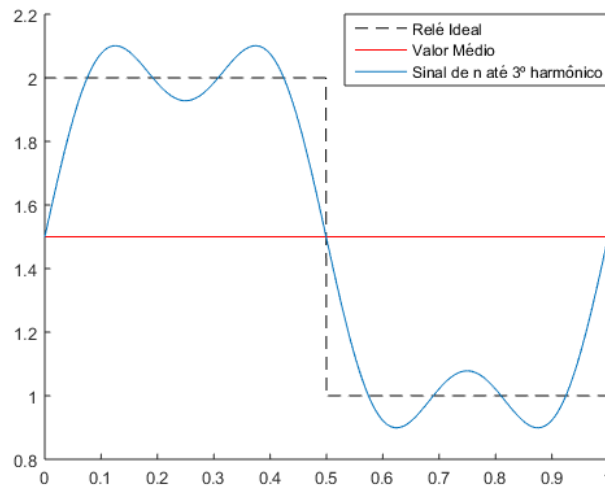


Figura 5: Sinal aproximado pela Série de Fourier considerando  $n$  até 3

Ao analisar a Figura 5 pode-se observar que a aproximação do sinal utilizando a Série de Fourier considerando até o 3º harmônico ainda é uma aproximação insuficiente para representar o sinal real destacado em azul, porém, nota-se também que o sinal possui distorções devido a presença de mais harmônicos de maior frequência.

#### Estudo 4

Reconstituindo o sinal aproximado pela Série de Fourier considerando  $n$  até 7 foi obtido o resultado apresentado na Figura 6.

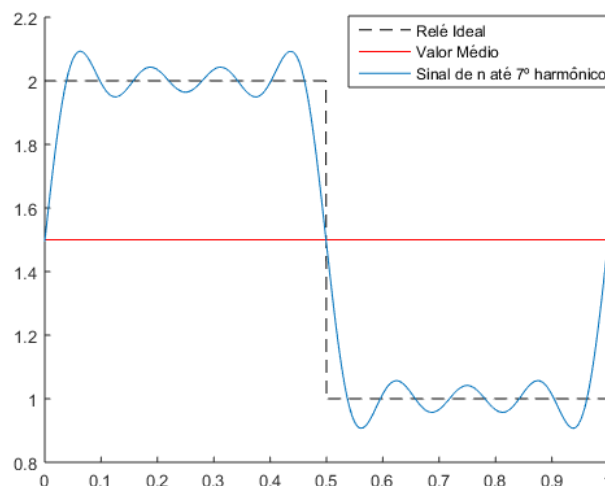


Figura 6: Sinal aproximado pela Série de Fourier considerando  $n$  até 7

Ao analisar a Figura 5 pode-se observar que a aproximação do sinal utilizando a Série de Fourier considerando até o 7º harmônico apresenta um sinal com mais oscilações que as análises anteriores onde foi considerado até o 1º e até o 3º harmônico. O sinal obtido é



um sinal que se aproxima do sinal em azul que representa o sinal real da saída do sistema com Relé Ideal.

### Estudo 5

Ao analisar a Figura 3 pode-se observar que o valor de amplitude do 3º harmônico é  $\approx 0,2$  o que representa  $\approx 30\%$  do valor de amplitude da fundamental(1º harmônico) e para as próximas harmônicas têm-se respectivamente, 5º harmônico com amplitude  $\approx 0,15$  que representa  $\approx 25\%$  da amplitude da fundamental e 7º harmônico com amplitude  $\approx 0,1$  que representa  $\approx 16,67\%$  da amplitude da fundamental, portanto, dependendo do objetivo da análise, a aproximação pela Série de Fourier do sinal considerando apenas até a fundamental(1º harmônico) não é válida pois os próximos harmônicos ainda influenciam com uma parcela considerável na representação do sinal aproximado. Entretanto, se a malha tiver como objetivo o controle de um sistema que tenha inserido o elemento não linear estudado e o controlador empregado na malha se comportar como um filtro passa baixa(A maioria dos controladores atenuam o sinais de alta frequência) a aproximação pela Série de Fourier do sinal considerando apenas até a fundamental(1º harmônico) é válida, pois as demais harmônicas teriam seus sinais atenuados. Para exemplificar, é mostrado abaixo o gráfico na Figura 7 do somatório do sinal aproximado de  $n$  ao 50º harmônico, que quando comparado com a Figura 4 que representa o mesmo somatório porém de  $n$  ao 1º harmônico é possível notar o quanto a forma de onda da Figura 7 é mais próximo do sinal real do que o sinal apresentado na Figura 4.

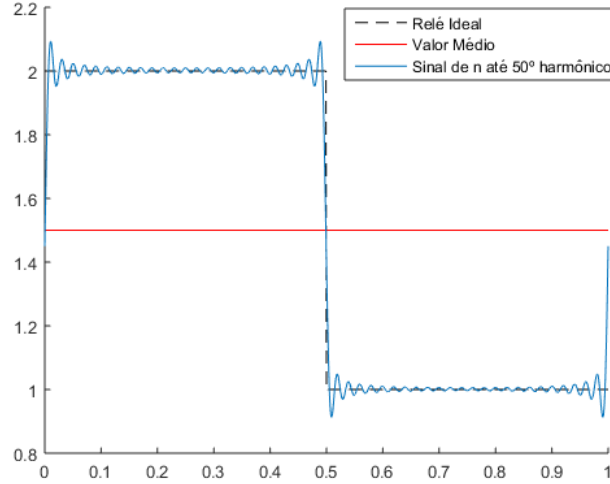


Figura 7: Sinal aproximado pela Série de Fourier considerando  $n$  até 50

### Estudo 6

A função descritiva para um sinal de entrada da forma  $X \sin(\omega t)$  para o elemento relé ideal é apresentada na equação 16.

$$N(X) = \frac{f_1 + \sqrt{a_1^2 + b_1^2}}{X} \left/ \arctan \frac{a_1}{b_1} \right.$$

$$N(X) = \frac{1,5 + \sqrt{0^2 + \left(\frac{1}{\pi} \left( \frac{-\cos(1\pi)}{1} + \frac{1}{1} \right) \right)^2}}{X} \left/ \arctan \frac{0}{\frac{1}{\pi} \left( \frac{-\cos(1\pi)}{1} + \frac{1}{1} \right)} \right.$$

$$N(X) = \frac{1,5 + \frac{2}{\pi}}{X} \angle 0 \quad (16)$$

## 4 Considerações Finais

Desenvolvendo o experimento relatado, foi possível validar, em convergência com a base teórica, que conforme aumenta o número de componentes harmônicas consideradas na aproximação de um sinal periódico pela Série de Fourier, menor será a diferença desse sinal quando comparado com o sinal real.